

القای بیان ژن HSP70 در دو کفه‌ای آب شیرین *Anodonta cygnea* ناشی از مواجهه با CuO-NPs

^۴ حدیثه کشیری^{۱*}، علی شعبانی^۲، کاوه خسرویانی^۳، امیر قادرمرزی^۴

تاریخ پذیرش، اردیبهشت ۹۶

تاریخ دریافت: بهمن ۹۵

حکیمہ

دوكفهای *Anodonta cygnea* به دلیل مقاومت پایین در برابر تغییرات محیطی به عنوان گونه‌ای مناسب در ارزیابی آلودگی اکوسیستم‌های آبی مطرح است. امروزه به دلیل کاربرد گسترده نانومواد در صنایع مختلف، نگرانی‌های زیادی در خصوص اثرات منفی این مواد بر حیات سیستم‌های آبی وجود دارد. در مطالعه حاضر به ارزیابی اثر نانوذرات اکسید مس (CuO-NPs) (II) بر بیان ژن HSP70 در *A. cygnea* پرداخته شد. بدین منظور، دوكفهای‌ها طی ۱۲ روز در معرض CuO-NPs با غلظت‌های ۰، ۰/۲۵ و ۰/۵ ppm قرار گرفتند. برای ارزیابی تغییرات بیان ژن HSP70، ابتدا توالی این ژن در گونه مورد نظر تعیین شد. در این راستا، یک قطعه ۵۴۰ نوکلئوتیدی کد کننده HSP70 کلون شد. توالی نوکلئوتیدی 70 در HSP70 در *A. cygnea* به ترتیب دارای ۱۹/۸، ۳۰/۷، ۳۰/۷، ۲۶/۷ و ۲۲/۹ درصد از نوکلئوتیدهای A, C, G و T بود. نتایج حاکی از آن بود که مواجهه با CuO-NPs منجر به القای بیان ژن HSP70 در هر دو بافت پا و آبشش شد. اما اختلاف مشاهده شده بین سطح بیان ژن HSP70 در این دو بافت معنی‌دار نبود ($P > 0/05$). همچنین سطح بیان ژن در بافتهای مورد بررسی، با افزایش زمان مواجهه تا ۸ روز افزایش یافت اما با گذشت زمان تا روز دوازدهم روند کاهشی نشان داد ($P \leq 0/05$). در مجموع، ژن HSP70 در دوكفهای *A. cygnea* دارای میزان بالاتری از نوکلئوتیدهای GC در مقایسه با سایر گونه‌های مورد بررسی است و سطح بیان این ژن تحت مواجهه با CuO-NPs افزایش می‌یابد، به نحوی که میزان این افزایش وابسته به غلظت و زمان مواجهه است.

وازگان کلیدی: Anodontata cygnea, آلوگی، پروتئین شوک حرارتی، نانوذرات اکسید مس.

- استادیار گروه شیلات، دانشکده شیلات و محیط زیست، دانشگاه علوم کشاورزی و منابع طبیعی گرگان، گرگان، ایران.
 - دانشیار گروه شیلات، دانشکده شیلات و محیط زیست، دانشگاه علوم کشاورزی و منابع طبیعی گرگان، گرگان، ایران.
 - کارشناس ارشد آمایشگاه مرکزی زیستک و بیوتکنولوژی، دانشکده علوم کشاورزی و منابع طبیعی، دانشگاه تهران، تهران، ایران.
 - دانشجوی دکتری شیلات، گروه شیلات، دانشکده شیلات و محیط زیست، دانشگاه علوم کشاورزی و منابع طبیعی گرگان، گرگان، ایران.

* نویسنده مسئول: hadiskashiri@gmail.com

مقدمه

تکنولوژی یافته‌اند (Moore, 2006). از آنجایی که بخش قابل توجهی از نانومواد و محصولات جانبی آن‌ها همچون اغلب محصولات و پساب‌های صنعتی وارد محیط‌های آبی می‌شود (Daughton, 2004). نگرانی‌های روزافروزی درباره اثرات احتمالی این مواد بر سلامت محیط زیست آبی ایجاد شده است. بررسی‌ها نشان داده است که بسیاری از نانوذرات به دلیل حلالیت پایین و تمایل به تجمع در محیط‌های آبی، می‌توانند برای آبزیان سمی باشند (Durnev, 2008). در بین نانوذرات مختلف، نانوذرات مبتنی بر مس به دلیل دسترسی ساده، هزینه پایین و ویژگی‌های فیزیکی و شیمیایی خاص به طور گستردگی تولید و مورد استفاده قرار می‌گیرند (Umer et al., 2012). در واقع، این مواد به دلیل داشتن خواص ضدمیکروبی در زمینه کشاورزی، پزشکی و صنعت کاربرد فراوان یافته‌اند (Kasana et al., 2016). با وجود تولید و کاربرد گسترده نانوذرات مس و متعاقب آن رهاسازی پساب‌های حاصل از آن به محیط زیست، اطلاعات اندکی درباره اثرات احتمالی این مواد بر موجودات زنده وجود دارد. دوکفه‌ای‌ها به دلیل ویژگی‌هایی همچون ساکن

صفد *Anodonta cygnea* متعلق به خانواده Unionidae و یکی از بزرگ‌ترین دوکفه‌ای‌های آب شیرین است که پراکنش گستردگی در اکوسیستم‌های آب شیرین و لب‌شور دنیا دارد (Chojnacki et al., 2011). این گونه در ایران در برخی از سیستم‌های آبی شمال ایران نیز وجود دارد (پروانه، ۱۳۷۳). *Anodonta cygnea* دارای دامنه تحمل پایینی نسبت به عوامل محیطی منفی است، از این رو به عنوان یک نشان‌گر زیستی خوب برای آب‌های تمیز با میزان بالای اکسیژن و بستر غنی از مواد غذایی محسوب می‌شود (Chojnacki et al., 2011). در حال حاضر این دوکفه‌ای جزو گونه‌هایی با کمترین خطر تهدید به شمار می‌رود (Lopes-Lima, 2014). با این وجود عواملی همچون آلودگی آب‌ها ناشی از تخلیه پساب‌ها به ویژه انواع صنعتی و شیمیایی، مواد سمی و ورود رواناب‌های حاوی کودهای شیمیایی و آفت‌کش‌ها می‌تواند وضعیت این گونه را به مخاطره اندازد (Chojnacki et al., 2011).

امروزه نانوذرات به دلیل اندازه کوچک و ویژگی‌های سطحی خاص خود، کاربرد گستردگی در حوزه‌های مختلف علم و

زیستمحیطی در نظر گرفته می‌شود (Bierkens, 2000). HSPs خانواده‌ای از پروتئین‌ها است که در برخی فرآیندهای حیاتی در سلول‌ها مشارکت دارند و شرایط استرس‌زا منجر به القای بیان آن‌ها می‌شود (Iwama et al., 1998). در بین پروتئین‌های شوک حرارتی، HSP70 به عنوان پروتئین هدف در بررسی پاسخ‌های استرس در ماسل‌ها، بیش از سایر پروتئین‌ها مورد توجه قرار گرفته است (Fabbri et al., 2008). به هر حال، مطالعات کمی درباره بیان ژن این پروتئین در ماسل‌ها انجام شده است که به چند گونه خاص همچون Hamdoun et al.,) *Crassostrea gigas* *Mytilus galloprovincialis* (2003 Franzellitti and Fabbri, 2005; Dutton) and Hofmann, 2009; Bebianno et al., Place et) *Mytilus californianus* (2015 (al., 2008) محدود می‌شود. در مطالعه حاضر با در نظر گرفتن کاربرد روزافزون نانومواد و با توجه به اهمیت *Anodonta cygnea* به عنوان یک نشان‌گر زیستی مطرح در آلودگی‌های زیستمحیطی و همچنین فقدان اطلاعات در سطح مولکولی، به ارزیابی اثر نانوذرات اکسید مس (II) بر بیان ژن HSP70 در دو کفه‌ای *A. cygnea* پرداخته شد.

بودن و پالایش ذرات معلق و به تبع آن تجمع میزان قابل توجهی از ذرات، به عنوان موجودات بسیار مستعد در برابر خطرات مربوط به آلودگی‌های محیطی ناشی از نانوذرات شناخته شده‌اند (Canesi et al., 2012). بررسی‌ها نشان داده است که نانوذرات اکسید مس (CuO-NPs) می‌توانند در آبیش تجمع یابند و استرس اکسیداتیو را در *Mytilus Gomes et al.* (2011) همچنین در بررسی دیگری بر روی گونه *M. galloprovincialis* مشخص شد که CuO-NPs باعث القای آسیب به Gomes در سلول‌های همو لنف می‌شود (et al., 2013).

روی هم رفته، استرس‌های محیطی می‌توانند باعث القای یک سری تغییرات فیزیولوژیکی در موجودات شوند. در این راستا، تغییر در سطح بیان ژن و ساخت سریع یک سری پروتئین‌ها همچون پروتئین‌های شوک حرارتی (HSPs) به عنوان پاسخ‌های معمول در برابر استرس‌های Lakhotia and Prasanth, 2002) از این رو، ارزیابی تغییرات محیطی شناخته شده‌اند (Prasanth, 2002) ایجاد شده در سطح بیان mRNA این پروتئین‌ها، به عنوان روشی کارآمد در شناسایی پاسخ‌های فیزیولوژیکی در برابر شرایط نامساعد

نانومتر، ۹۹٪ خلوص؛ US Research Nanomaterials Inc. (آمریکا) با استفاده از اولتراسونیک Top Sonics 400-A (آلمان) در دور ۴۰۰ rpm به مدت ۲۰ دقیقه در آب مقطر (200 mg.L^{-1}) پخش و به صورت همگن در آمدند. به دلیل این که نانوذرات پس از ۲۴ تا ۴۸ ساعت در محلول آبی رسوب می‌یابند، تعليق مجدد محلول ذخیره به صورت T25 Digital Ultra-Turrax Homogenizer (IKA، آلمان) در دور ۱۴۰۰ rpm به مدت ۱۵ دقیقه انجام گرفت. اندازه و نحوه پراکنش ذرات نیز با استفاده از دستگاه ZEN 3600 DLS (آلمان) تعیین شد.

طرح آزمایش

پس از طی دو هفته دوره سازگاری، ماسل‌ها به صورت تصادفی به چهار گروه تقسیم شدند: یک گروه به عنوان شاهد (بدون CuO-NPs) در نظر گرفته شد و سه گروه در معرض CuO-NPs قرار گرفتند. بر اساس مطالعات صورت گرفته پیشین، سه غلظت تحت کشنده از CuO-NPs شامل $0/25$ ، $0/25$ و 25 ppm (Qadermarzi et al., 2017) برای هر تیمار سه تکرار در نظر گرفته

مواد و روش‌ها

جمع‌آوری و نگهداری دوکفه‌ای‌ها

دوکفه‌ای‌های *Anodonta cygnea* (ماسل) در مهرماه ۱۳۹۴ از مصب رودخانه تجن واقع در سمسکنده استان مازندران ($36^{\circ}48'46''\text{N}$, $53^{\circ}6'57''\text{E}$) جمع‌آوری و به سالن آبری‌پروری دانشگاه علوم کشاورزی و منابع طبیعی گرگان انتقال داده شدند. متوسط طول و وزن نمونه‌ها به ترتیب $11/5 \pm 0/9$ سانتی‌متر و $84/5 \pm 6$ گرم بود. دوکفه‌ای‌ها به منظور سازگاری به مدت دو هفته در آکواریوم‌های شیشه‌ای با حجم ۶۰ لیتر آب شهری گلرزدایی شده نگهداری شدند. تغذیه به صورت روزانه با استفاده از جلبک *Chlorella vulgaris* ($3 \times 10^6 \text{ cells.L}^{-1}$) انجام گرفت. شاخص‌های فیزیکوشیمیایی آب نیز طی مدت نگهداری مورد ارزیابی قرار گرفت. بدین منظور، دما، اکسیژن محلول و pH با استفاده از Water Checker U-10 (ژاپن) و سختی آب با استفاده از دستگاه فتوتمتر Wagtech (آلمان) اندازه‌گیری شد.

تهییه محلول نانوذرات اکسید مس (II)

به منظور تهییه محلول ذخیره، نانوذرات اکسید مس (II) (CuO-NPs) (نانوپودر، ۴۰

ساخت cDNA با استفاده از کیت RevertAid First Strand cDNA (Thermo Fisher Scientific Synthesis، آمریکا) انجام شد. به طور خلاصه، ترکیبی از ۲ میکروگرم RNA و ۱ میکرولیتر آغازگر Oligo dT (تکاپوزیست، ایران)، با استفاده از آب DEPC (تکاپوزیست، ایران) به حجم ۱۲ میکرولیتر رسانده شد و در دمای ۶۵ درجه سانتیگراد به مدت ۵ دقیقه در انکوباتور سردسازی روی یخ، ۴ میکرولیتر بافر واکنش RiboLock RNase (5X)، ۱ میکرولیتر dNTP (۲۰ U/ μ L)، ۲ میکرولیتر Inhibitor RevertAid M- (۱۰ mM) و ۱ میکرولیتر MuLV RT (۲۰۰ U/ μ L) اضافه و در دمای ۴۲ درجه سانتیگراد به مدت ۶۰ دقیقه انکوبه شد. در نهایت واکنش مربوطه با قرار گرفتن در دمای ۷۰ درجه سانتیگراد به مدت ۵ دقیقه خاتمه یافت.

طراحی آغازگر و بررسی بیان ژن
طراحی آغازگرهای اختصاصی برای ژن HSP70 با استفاده از توالی‌های گزارش شده در بانک جهانی داده‌های بیوتکنولوژی (NCBI) (*Dreissena polymorpha* به مربوط

شد ۶ نمونه برای هر تکرار). طول مدت مواجهه ۱۲ روز بود و طی این مدت آب محیط به صورت روزانه تعویض می‌شد. نمونه‌برداری از بافت‌های پا و آیشش طی روزهای ۴، ۸ و ۱۲ مواجهه انجام شد. بدین منظور، ماسل‌ها با استفاده از پودر گل میخک (1 g.L^{-1}) بی‌هوش شدند و بافت‌های مورد نظر جمع‌آوری شد. بافت‌ها بلافصله در حمام اتانول- یخ خشک منجمد قرار داده شد و تا زمان استخراج RNA در دمای -۸۰ درجه سانتیگراد نگهداری شد.

استخراج RNA و ساخت cDNA

RNA کل با استفاده از کیت ترایزول طبق پروتکل شرکت سازنده (Invitrogen، آمریکا) از حدود ۱۰۰ میلی‌گرم از هر بافت جداسازی شد. از I DNase (GeneAll، کره جنوبی) نیز برای حذف gDNA نمونه‌ها استفاده شد. پس از آن RNA به دست آمده در دمای -۸۰ درجه سانتیگراد نگهداری شد. کمیت RNA توسط دستگاه نانودرایپ (2000c، Thermo Fisher Scientific، آمریکا) با خوانش میزان جذب نمونه‌ها در نسبت ۲۶۰/۲۸۰ نانومتر تعیین شد. همچنین کیفیت RNA از طریق الکتروفورز (Bio-Rad، آمریکا) ژل آگارز ۱ درصد ارزیابی شد.

پیکومولار از هر کدام از آغازگرها و ۰/۵ واحد Thermo) TaqDNA Polymerase آنزیم ۱۰ آمریکا) به صورت Fisher Scientific دقیقه و اسرشته‌سازی اولیه، ۴۰ چرخه با دمای و اسرشته‌سازی اولیه ۹۴ درجه سانتی‌گراد به ۵۶ مدت ۳۰ ثانیه، اتصال آغازگر در دمای ۴۵ درجه سانتی‌گراد به مدت ۵ ثانیه و بسط آنزیمی در دمای ۷۲ درجه سانتی‌گراد به مدت ۶۰ ثانیه صورت گرفت. در نهایت بسط آنزیمی در دمای ۷۲ درجه سانتی‌گراد به مدت ۵ دقیقه انجام شد. مقدار ۱۰ میکرولیتر از محصول PCR بر روی ژل آگارز ۱ درصد مورد ارزیابی قرار گرفت و باند هدف برای تکثیر دوباره برش و در واکنش PCR مجدد شرکت داده شد. محصول PCR با کیفیت مناسب برای توالی‌بایی دو طرفه استفاده شد.

Modiolus modiolus, (EF526096)
Perna indica, (EU050640)
Sinonovacula constricta, (GU391233)
Mytilus edulis, (JF748730)
Mytilus galloprovincialis, (AF172607)
 آغازگر اولیه (AY861684) انجام گرفت. آغازگر اولیه HSP-seq برای توالی‌بایی و به دست آوردن توالی ژن HSP70 استفاده شد. ویژگی آغازگرهای طراحی شده برای دستیابی به توالی ژن‌های مورد مطالعه در جدول ۱ آورده شده است. در نهایت آغازگرهای طراحی شده برای ارزیابی اختصاصی بودن در ابزار Primer- BLAST سایت NCBI مورد آزمون قرار گرفت. واکنش تکثیر تصادفی این جفت آغازگر در دستگاه ترموسایکلر (PeQlab, آلمان) با حجم ۳۰ میکرولیتری شامل ۱/۵ میلی‌مولار کلرید منیزیوم، ۰/۲ میلی‌مولار dNTPs، ۱۰

جدول ۱: ویژگی آغازگرهای مورد استفاده برای دستیابی به توالی ژن‌های مورد مطالعه

نام آغازگر	توالی	طول قطعه (جفت باز)	قطعه
HSP-seqf	GGTGAAGA(T,C)TTTGA(T,C)AA(T,C)(C,A)GAATGGT	۲۶	۶۴۰
	TGAATG(G,A)(T,A)(G,T,C)AC(G,C)(G,C)C(C,A)GGCTGGTTGTC	۲۶	
ASHSP-F	GACAAGAACGGACCTCACCTCAATGC	۲۵	۱۲۴
	CCCTCAAACAGCGAGTCAATCTCAATC	۲۷	
Bactin-F	CCTCACCCCTCAAGTACCCCAT	۲۱	۱۵۳
	TTGGCCTTGGGTTGAGTG	۱۹	

استفاده از مدل دلتا $\Delta\Delta Ct$ (Livak and Schmittgen, 2001) پس از تجزیه و تحلیل، در نرم افزار Microsoft Excel 2007 وارد شد. تجزیه و تحلیل داده های مربوط به گروه های مختلف (تیمارهای مختلف غلظت، بافت های مختلف و زمان های مختلف نمونه برداری) با استفاده از نرم افزار SPSS نسخه ۱۸ تحت آنالیز واریانس یک طرفه فاکتوریل قرار گرفت. مقایسه میانگین ها در گروه های مختلف نیز با استفاده از آزمون دانکن صورت گرفت ($P < 0.05$).

نتایج

شاخص های فیزیکوشیمیایی آب

شاخص های فیزیکوشیمیایی آب طی مدت نگهداری به این شرح بود: 7.42 ± 0.35 pH، 22 ± 1 درجه سانتی گراد، اکسیژن محلول 7.6 ± 0.36 میلی گرم بر لیتر و سختی آب 256 ± 5.8 میلی گرم بر لیتر.

اندازه نانوذرات اکسید مس (II)

اندازه ذرات در نمونه محلول نانو اکسید مس در شکل ۱ نشان داده شده است. با توجه به شکل، ۹۵ درصد حجمی ذرات در محلول کلوئیدی دارای قطر 85 نانومتر هستند که این امر نشان دهنده نانو بودن اندازه ذرات به کار

Real Time PCR با استفاده از روش مبتنی بر رنگ فلورسنس سایبر گرین انجام گرفت. در این روش ابتدا در دستگاه PCR ترموسایکلر معمولی شرایط انجام واکنش شامل حجم واکنش، غلظت آغازگر، دمای اتصال آغازگرها، مدت زمان لازم برای بسط قطعه، غلظت کلرید منیزیوم و سایر عوامل موثر بر تکثیر بهینه شد. شرایط بهینه به دست آمده در دستگاه StepOne Real Time PCR (ABI، آمریکا) اجرا شد. برای بهینه کردن Gradient PCR دمای اتصال آغازگرها از روش cDNA ساخته شده با استفاده از PCR ژن کنترل در همه نمونه های مورد مطالعه بررسی شد. برای انجام واکنش Real Time PCR از پلیت ۴۸ چاهکی مخصوص دستگاه با حجم واکنش نهایی 15 میکرولیتر شامل 2 میکرولیتر Ex Taq cDNA (Takara ۱X SYBR Premix II Mix)، 0.8 میکرولیتر از هر یک از آغازگرهای پسین و پیشین ($0.5\mu M$) و آب مقطر استریل تا رسیدن به حجم نهایی، استفاده شد.

تجزیه و تحلیل آماری داده های حاصل از بررسی بیان ژن با

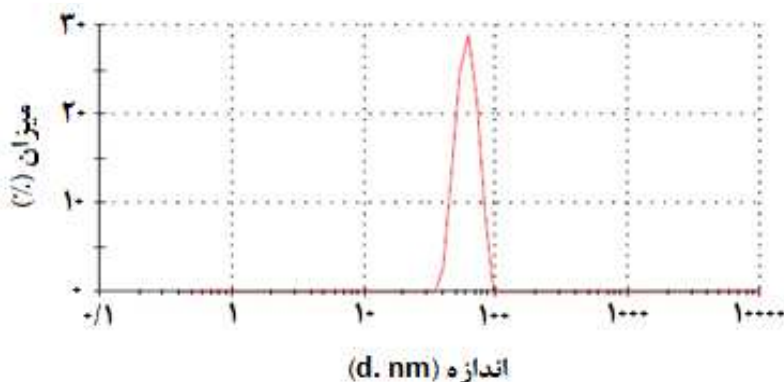
طراحی آغازگر

نتیجه توالی یابی ژن HSP70 در NCBI با کد دسترسی KX758099 گزارش و الگوی همردیف شده آن در مقایسه با توالی این ژن در سایر گونه‌های این خانواده به طول ۵۴۰ جفت باز در شکل ۳ نشان داده شده است. درخت فیلوژنی ترسیم شده و جایگاه توالی *A. cygnea* در مقایسه با سایر گونه‌ها نیز به ترتیب در شکل ۴ و جدول ۱ نشان داده شده است. با توجه به نتایج، توالی نوکلئوتیدی HSP70 در *A. cygnae* دارای ۱۹/۸ درصد نوکلئوتید A، ۳۰/۷ درصد نوکلئوتید C، ۲۶/۷ درصد نوکلئوتید G و ۲۲/۹ درصد نوکلئوتید T بود. همچنین ژن HSP70 این گونه دارای ۵۷/۴ درصد از نوکلئوتیدهای GC بود. نتایج حاصل از ترسیم درخت فیلوژنی نیز حاکی از قرار گرفتن *A. cygnea* در کلادی جداگانه نسبت به سایر گونه‌ها بود.

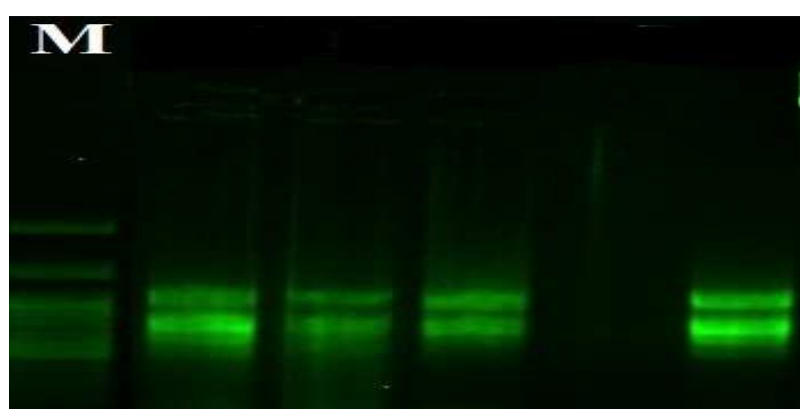
گرفته شده است. بر این اساس، نحوه پراکنش نانوذرات اکسید مس (II) در آب آکواریوم حاوی دوکفه‌ای‌ها یکسان بود و تمامی دوکفه‌ای‌ها به طور یکنواخت در مواجهه با نانوذرات اکسید مس (II) قرار گرفتند. همچنین با توجه به گراف می‌توان نتیجه گرفت که نانوذرات در کف مخازن رسوب نیافتدند.

کیفیت و کمیت RNA استخراج شده

شدت جذب در نسبت ۲۶۰/۲۸۰ نانومتر در نمونه‌های RNA استخراج شده از بافت‌های پا و آبشش در دامنه ۱/۹-۲/۱ به دست آمد. در مجموع، میزان جذب در طول موج‌های RNA مورد بررسی، حاکی از قابلیت مناسب استخراجی در تیمارهای مورد نظر بود. همچنین الکتروفورز ژل آگارز نشان داد که RNA به دست آمده از بافت‌های مختلف از کیفیت مطلوبی برخوردار بود (شکل ۲).



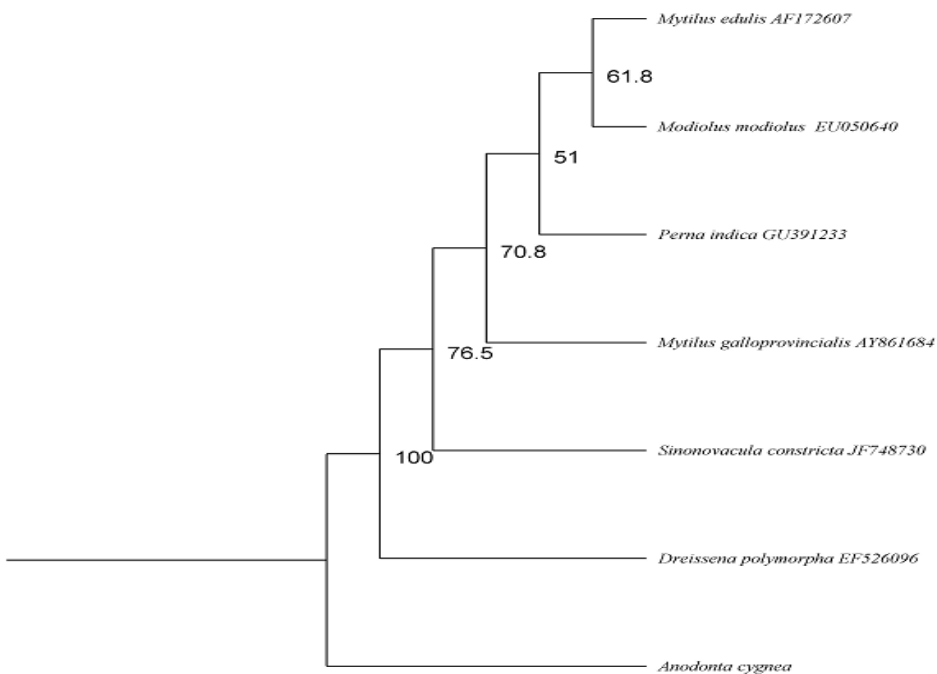
شکل ۱: توزیع اندازه‌ای نانوذرات اکسید مس (II) در آکواریوم‌های آب حاوی دوکفه‌ای‌ها



شکل ۲: تصویر ژل به دست آمده از الکتروفورز آگارز ۱ درصد برای گونه *Anodonta cygnea*

	10	20	30	40	50	60	70
Anadontae syneae	GCCCGTGTCTGGCTCGCTTGCGTACTGCCCTGGAGCGGCCAACCTCTCGTCGGCTGCTCAA						
Dreissena polymorpha EF526096	..AA.AAGCA.T.C..C..A..A..GT.....A..A.G..A..G..TAGT..GAA..GG..G						
Mytilus edulis AF172607	AAG.....G.C..A..AC..TA..A.....T..GT..AA..G..A..A..A..T..T..AAGCA..A..G						
Mytilus galloprovincialis AY86	AAG.....G.C..A..AC..TA..A.....T..GT..AA..G..A..A..A..T..T..AAGCA..A..G						
	80	90	100	110	120	130	140
Anadontae syneae	CCACGATTGAGATTGACTCGCTGTTGAGGGTATCGACTCTACACTTCTATCACCGTCCCCGCTCGA						
Dreissena polymorpha EF526096	..G..GC..A..C..G..AT..AC..A..C..T..T..A..AAAG..A..A..C..G..T..						
Mytilus edulis AF172607	.A..GTG.....TT.....A..AG..T.....T..T..AAGC.....AA..A..A..G..T..						
Mytilus galloprovincialis AY86	.A..GTG.....T.....A..AG..T.....T..T..AAGC.....AA..A..A..G..T..						
	150	160	170	180	190	200	210
Anadontae syneae	GGAACGTGTGGTGACCTTTCTCGCACACAATGACCTGTGAAAGGTCTGACACGACTGAAAAT						
Dreissena polymorpha EF526096	..G..C..CG..A..C..CG..GC..CT..A..G..G..G..A..CG..GA..TG..C..GC..G						
Mytilus edulis AF172607	...T..AA..CA..T.....AGAGGA..C..G..A..A.....A..CT..A..GT..TG..C..C..A						
Mytilus galloprovincialis AY86	...T..AA..CA..T.....AGAGGA..C..G..A..A.....A..CT..A..G..TG..C..C..A						
	220	230	240	250	260	270	280
Anadontae syneae	GACAAAGGCGCTCGGTTACCGAGGTGTTCTCGTGGTGGTTGACACCCATACTCCACCTGTGCAAGAGCTGC						
Dreissena polymorpha EF526096TC..CG..A..A..GT.....A..GT.....C..T..C..C..TA..G..C..						
Mytilus edulis AF172607CTG..T..C..TA..AA..A..CT..A..A..A..A..AAA..C..T..A..						
Mytilus galloprovincialis AY86CTG..T..C..T..AA..A..CT..A..A..A..A..AAA..C..T..A..						
	290	300	310	320	330	340	350
Anadontae syneae	TCCGGAGATTCTTCAATGGCCCGCGGCCGAACAGTCGATCACCCAGACAGGAGCTGTGCTTACGGTGC						
Dreissena polymorpha EF526096	..A..AG..G..A..G..C..AAG..T..C..G..T..A..G..G..G..T..G..G..G..T..A..						
Mytilus edulis AF172607	.T..AG..T..C..A..AAA..ATT..A..C..T..T..A..T..A..A..A..						
Mytilus galloprovincialis AY86	.T..AG..T..T..TC..A..AAA..ATT..A..C..T..T..T..A..A..A..						
	360	370	380	390	400	410	420
Anadontae syneae	CGCCGTCCAGGCTGCCATTCTGACGGGTGACACGTCGGAGAAGAGCAGCAGGACCTGCTCTCTCGACGTT						
Dreissena polymorpha EF526096	...T..C..T..CT..T..C..C..CG..G..G..GC..TCA..T..TG..C..G..G..G..T..A..						
Mytilus edulis AF172607	A..T..G..A..T..T..A..A..AG..GTA..A..T..T..AT..GT..A..T..						
Mytilus galloprovincialis AY86	A..T..G..A..T..T..A..A..AG..GTA..A..T..T..AT..GT..A..T..						
	430	440	450	460	470	480	490
Anadontae syneae	GCCCTCTCTCATGGTATTGAAACGGCTGGTGGTCTCTACCCCTCTTACAGCGTAACACGACCG						
Dreissena polymorpha EF526096	..G..G..T..G..C..C..G..C..G..A..C..A..AATG..AAA..G..TG..A..A..C..AG..						
Mytilus edulis AF172607	A..A..A..G..C..T..A..A..A..A..GATG..AG..A..A..A..T..A..A..A..						
Mytilus galloprovincialis AY86	A..A..A..G..C..T..A..A..A..A..GATG..AG..A..A..A..T..A..A..A..						
	500	510	520	530	540		
Anadontae syneae	CGCCAACCAAGAAGTCGGAGGCTCTCTCGACTAACGGCAACACCGCCG						
Dreissena polymorpha EF526096	T..G..G..G..G..G..C..A..A..C..A..A..C..G..G..C..						
Mytilus edulis AF172607	TT..A..AC..A..AC..AAC..A..A..T..C..T..T..T..A..T..						
Mytilus galloprovincialis AY86	TT..A..AC..A..AC..AAC..A..A..T..C..T..T..T..A..T..						

شکل ۳: الگوی هم ردیف شده توالی زن HSP70 به طول ۵۴۰ جفت باز در دو کفه‌ای *Anodonta cygnea* در مقایسه با توالی این زن در سایر گونه‌های هم خانواده



شکل ۴: درخت فیلوژنی ترسیم شده برای گونه *Anodonta cygnea* روابط فیلوژنی برای ژن HSP70 پس از هم ترازی چندگانه به روش حداکثر درست نمایی با ۱۰۰۰ بار خود راه اندازی ترسیم شده است.

جدول ۱: اطلاعات مربوط به مقایسه توالی ژن HSP70 در گونه های مختلف

هم ر دیفی	Anodonta cygnea/Dressina polymorpha	۵۴۰/۹۴۳	۵۵/۶	۶۵/۷۳	مقایسه طول ژن درصد GC در گونه حداکثر شباهت با (نوكلئوتید)	مقایسه شده (%)	گونه مقایسه شده (%)
<i>Anodonta cygnea/Modiolus modiolus</i>		۵۴۰/۵۰۱	۴۲/۷	۶۶/۲۵			
<i>Anodonta cygnea/Mytilus edulis</i>		۵۴۰/۵۷۰	۴۰	۲۶/۴۷			
<i>Anodonta cygnea/Mytilus galloprovincialis</i>		۵۴۰/۲۳۹۶	۳۸/۹	۶۶/۸۵			
<i>Anodonta cygnea/Perna indica</i>		۵۴۰/۹۲۰	۴۲/۷	۷۰/۱			

چندانی بین غلظت‌های مختلف مورد بررسی مشاهده نشد. این در حالی بود که در روز هشتم، بالاترین سطح بیان در تیمار $2/5\text{ppm}$ مشاهده شد که البته از این نظر اختلاف موجود بین تیمارهای مواجهه یافته با غلظت‌های مختلف نانوذرات معنی‌دار نبود ($P > 0/05$). همچنین طی روز هشتم، سطح بیان ژن HSP70 در تیمار شاهد به طور معنی‌داری پایین‌تر از سایر تیمارها بود ($P \leq 0/05$; شکل ۵).

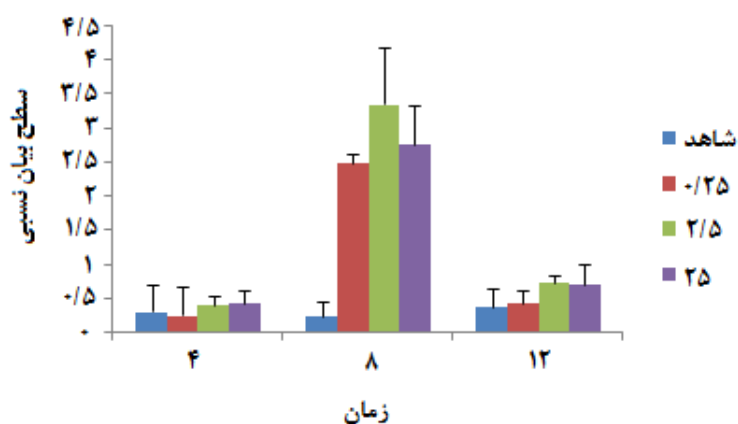
بیان نسبی ژن HSP70 در بافت آبشش در *Anodonta cygnea*
سطح بیان نسبی ژن HSP70 در بافت آبشش در شکل ۶ نشان داده شده است. در تمامی تیمارهای مورد بررسی، مواجهه با HSP70 منجر به افزایش بیان ژن CuO-NPs در مقایسه با تیمار شاهد شد که تفاوت مشاهده شده از این نظر تنها در روز هشتم مواجهه معنی‌دار بود ($P \leq 0/05$). در ارزیابی تغییرات وابسته به زمان، روند مشابهی در بین تیمارهای مورد بررسی مشاهده شد به نحوی که سطح بیان ژن مورد نظر با گذشت زمان و رسیدن به روز هشتم مواجهه افزایش و پس از آن در روز دوازدهم مجدداً کاهش یافت ($P \leq 0/05$). در بررسی تغییرات وابسته به

بیان نسبی ژن HSP70 در بافت پا در ***Anodonta cygnea***
بیان نسبی ژن HSP70 در بافت‌های پا در دوکفه‌ای *A. cygnea* تحت غلظت‌های مختلف نانوذرات اکسید مس (II) در روزهای ۴، ۸ و ۱۲ مواجهه ارزیابی شد. با توجه به شکل ۵، مواجهه با غلظت‌های مختلف CuO-NPs منجر به القای بیان ژن HSP70 در بافت پا شد. در روز هشتم مواجهه، افزایش قابل توجهی از سطح بیان ژن مورد نظر در مقایسه با تیمار شاهد مشاهده شد ($P \leq 0/05$). در بررسی پروفایل وابسته به زمان، بیان نسبی ژن مورد نظر در پایین‌ترین غلظت مورد بررسی ($0/25\text{ppm}$)، از روز چهارم تا روز هشتم مواجهه افزایش و پس از آن مجدداً در روز دوازدهم کاهش یافت ($P \leq 0/05$) که البته به میزان مشاهده در روز چهارم نرسید ($P > 0/05$). تغییرات میزان بیان نسبی ژن HSP70 در غلظت $2/5\text{ppm}$ نیز به‌گونه‌ای بود که پس از افزایش در روز هشتم مواجهه، در روز دوازدهم مواجهه مجدداً کاهش یافت ($P \leq 0/05$). تیمار 25ppm نیز روند مشابه با سایر تیمارها نشان داد (شکل ۵).

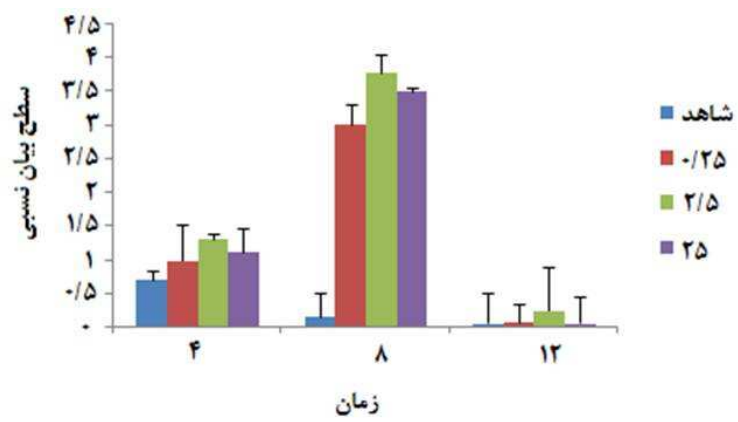
در بررسی پروفایل وابسته به غلظت، طی روزهای چهارم و دوازدهم مواجهه، تفاوت

مواجهه، سطح بیان نسبی ژن HSP70 در تیمار شاهد به طور معنی‌داری پایین‌تر از سایر تیمارها بود در حالی که بین تیمارهای مواجه شده با غلظت‌های مختلف نانوذرات تفاوت چندانی وجود نداشت ($P > 0.05$).

غلظت نیز، میزان بیان ژن طی روزهای چهارم و هشتم مواجهه، در تیمار ۰/۲۵ ppm پایین‌تر از سایر تیمارها بود. این در حالی بود که بالاترین میزان بیان در تیمار ۲/۵ ppm مشاهده شد ($P < 0.05$). همچنین در روز هشتم



شکل ۵: تغییرات بیان نسبی ژن HSP70 در بافت پا در دوکفه‌ای *Anodonta cygnea* طی مواجهه با غلظت‌های مختلف نانوذرات اکسید مس (II) در روزهای مختلف (میانگین ± انحراف معیار)



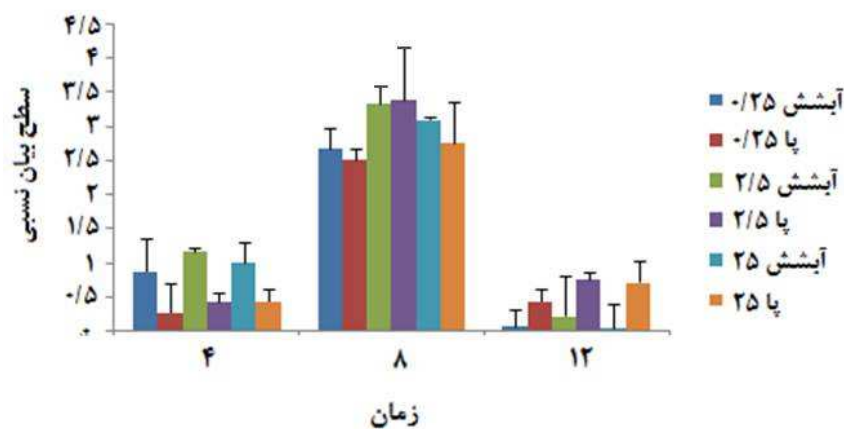
شکل ۶: تغییرات بیان نسبی ژن HSP70 در بافت آبشش در دوکفه‌ای *Anodonta cygnea* طی مواجهه با غلظت‌های مختلف نانوذرات اکسید مس (II) در روزهای مختلف (میانگین ± انحراف معیار)

مقایسه بیان نسبی ژن HSP70 در بافت‌های مختلف

بحث

اندازه‌گیری سطح بیان پروتئین‌های شوک حرارتی (HSPs) به عنوان یک ابزار کارآمد در بررسی‌های مربوط به سمشناسی محیطی مطرح است. این پروتئین‌ها در شرایط معمول نیز بیان می‌شوند، اما میزان بیان ژن آن‌ها در شرایط مواجهه با استرس‌های محیطی افزایش می‌یابد (Tedeschi et al., 2015). در مطالعه حاضر یک قطعه ۵۴۰ نوکلئوتیدی کد کننده A. cygnea HSP70 در دوکفه‌ای آب شیرین ۵۷/۴ کلون شد. ژن HSP70 این گونه دارای ۵۷/۴ درصد نوکلئوتیدهای GC بوده که در مقایسه با سایر گونه‌های دوکفه‌ای مورد بررسی، مقدار بیشتری GC نشان داد.

مقایسه سطح بیان نسبی ژن HSP70 در بین بافت‌های مورد بررسی در شکل ۷ نشان داده شده است. با توجه به شکل، میزان بیان ژن مورد نظر در روز چهارم مواجهه در بافت آبیش در تمامی غلظت‌های مورد بررسی بالاتر از بافت پا بود. این در حالی بود که در روز هشتم تفاوت چندانی بین بافت‌های مورد بررسی مشاهده نشد ($P > 0.05$). در روز HSP70 دوازدهم مواجهه نیز سطح بیان ژن در بافت آبیش در تمامی غلظت‌ها کمی پایین‌تر از بافت پا بود که اختلاف مشاهده شده از نظر آماری معنی‌دار نبود ($P > 0.05$).



شکل ۷: مقایسه بیان نسبی ژن HSP70 در بافت‌های پا و آبیش در دوکفه‌ای *Anodonta cygnea* طی مواجهه با غلظت‌های متفاوت نانوذرات اکسید مس (II) در روزهای مختلف (میانگین ± انحراف معیار)

(Hanna et al., 2014). در مطالعه حاضر، قرار گرفتن دوکفهای *A. cygnea* در معرض غلظت‌های مختلف نانوذرات اکسید مس (II) منجر به القای بیان mRNA پروتئین شوک حرارتی شد. تاکنون مطالعه‌ای درباره اثر نانوذرات مس بر بیان HSP70 این گونه دوکفهای صورت نگرفته است. در بررسی‌های *Crassostrea* صورت گرفته روی گونه‌های *Argopecten* (Zapata et al., 2009) و *Argopecten gigas* (David et al., 2012) مشخص شده است که مواجهه با یون مس به ترتیب به مدت ۷۲ ساعت و ۸ روز باعث افزایش قابل توجه HSP70 mRNA در بافت آبشش شد. بررسی‌ها نشان داده است که پاسخ پروتئین‌های استرس در غلظت‌ها و زمان‌های مختلف مواجهه با آلودگی‌ها می‌تواند متفاوت باشد (Kohler et al., 1999; Lewis et al., 2001) راستا، Luo و همکاران (۲۰۱۴) افزایش بیان نسبی mRNA پروتئین‌های شوک حرارتی در اوپیستر *Crassostrea hongkongensis* طی روزهای اولیه و سپس کاهش آن با گذشت زمان را در مواجهه با عوامل استرس‌زا گزارش کردند. همچنین در مطالعه دیگری میزان بیان ژن پروتئین‌های شوک حرارتی در بافت آبشش صدف *Dreissena polymorpha* تحت شرایط بر اساس مقادیر مربوط به حداکثر شباهت، بیش از ۶۵ درصد شباهت بین *A. cygnea* با *Dreissena polymorpha* گونه‌های *Modiolus*, *Mytilus galloprovin* و *Sinonovacula constricta modiolus* (بالاترین شباهت حداکثری) مشاهده شد که در این میان بالاترین شباهت حداکثری مربوط به گونه *Perna indica* بود. همچنین *A. cygnea* پایین‌ترین میزان شباهت حداکثری را با گونه *Mytilus edulis* نشان داد. نتایج حاصل از درخت فیلوژنی نشان داد که گونه *A. cygnea* در کلادی جداگانه نسبت به سایر گونه‌های مورد بررسی قرار دارد. بررسی‌ها نشان داده است که نانوذرات مس Bondarenko et al., (2013; Conway et al., 2015) کفریان در سیستم‌های آبی ممکن است تا حد زیادی در معرض این نانوذرات قرار گیرند (Griffitt et al., 2009). احتمالاً دوکفهای‌ها با رفتار تغذیه‌ای خاص خود می‌توانند تا حد زیادی تحت تاثیر این مواد قرار گیرند چرا که این موجودات توانایی پالایش بیش از یک لیتر آب در هر ساعت را داشته، از این روی، پتانسیل استفاده از میزان قابل توجهی از نانوذرات وارد شده به محیط آبی را دارند.

Sathiyyaa) HSPs به اثرات متقابل کورتیزول و and Vijayan, 2001) اشاره کرد که باعث تعديل برخی واکنش‌های ایمنی می‌شود (Whitesell and Cook, 1996). تعديل بیان ژن HSP70 در نخستین روزهای مواجهه با شرایط استرس‌زا ناشی از افزایش سطح کورتیزول در مطالعات قبلی نیز گزارش شده است (Celi et al., 2012; Safari et al., 2014). در مطالعه حاضر، سطح بیان ژن HSP70 در بافت‌های مورد بررسی طی روز هشتم مواجهه با نانوذرات اکسید مس (II) افزایش قابل توجهی در مقایسه با شاهد نشان mRNA داد. افزایش مشاهده شده در میزان پروتئین‌های شوک حرارتی، احتمالاً به دلیل عملکرد این پروتئین‌ها از طریق اتصال مؤقت به بخش‌های آبگریز برای ممانعت از تاخوردگی اشتباہ پروتئین‌ها و تجمع آن‌ها است. با گذشت زمان مواجهه تا روز دوازدهم، سطح بیان نسبی ژن HSP70 رو به کاهش رفت. کاهش سطح بیان ژن HSP70 تحت مواجهه با شرایط استرس‌زا با گذشت زمان در مطالعات قبلی بر Singer et al., 2005; Safari et al., 2014) در پژوهش حاضر، دلیل احتمالی کاهش مشاهده شده در سطح بیان ژن مربوطه در روز دوازدهم را

مواجهه با مس به طور معنی‌داری پس از ۲۴ ساعت افزایش یافت که پس از گذشت ۷ روز از زمان مواجهه، سطح بیان ژن مورد نظر به میزان مشاهده شده در تیمار شاهد نزدیک شد (Navarro et al., 2011). پژوهشگران مربوطه نوسانات بیان ژن را با گذشت زمان به عنوان یک مکانیسم دفاعی اولیه در ممانعت از دناتوره شدن پروتئین‌ها عنوان کردند. در مطالعه‌ای دیگر روی خورشید ماهی *Lepomis macrochirus* نیز افزایش سطح HSP70 در دو هفته اول پس از مواجهه با رسوبات آلوده و سپس کاهش چشمگیر آن پس از ۱۶ هفته مشاهده شد (Theodorakis et al., 1992). در پژوهش حاضر، میزان بیان نسبی ژن HSP70 در غالب موارد طی نخستین روز مورد بررسی تا حدی افزایش نشان داد، هر چند تفاوت مشاهده شده در مقایسه با تیمار شاهد معنی‌دار نبود. در این راستا، سطح بیان پایین‌تر در نخستین روز مورد بررسی در مقایسه با روز هشتم مواجهه را می‌توان به اثرات متقابل کورتیزول و HSP نسبت داد. مشخص شده است که افزایش سطح کورتیزول تحت شرایط استرس‌زا می‌تواند دارای اثرات مستقیم روی پاسخ‌های استرس سلولی باشد (Boone and Vijayan, 2002) از جمله این تاثیرات می‌توان

نسبت داد. همچنین در روز دوازدهم مواجهه، میزان بیان ژن در بافت آبشش کمی پایین تر از بافت پا بود ($P < 0.05$). این امر نیز می‌تواند ناشی از این موضوع باشد که با افزایش مدت زمان مواجهه به دلیل حساسیت بالاتر بافت آبشش به حضور آلاینده‌ها، برخی فرآیندهای سلولی همچون بیوسنتز پروتئین‌ها دچار آسیب بیشتری می‌شود (Rao et al., 2003). بنابراین کاهش سطح بیان ژن در بافت آبشش نسبت به بافت پا با گذشت زمان مواجهه محسوس‌تر است. افزایش میزان بیان متفاوت HSP70 در بافت‌های مختلف در مطالعات پیشین نیز گزارش شده بود (Venkatesan et al., 2014). در مقایسه بین غلظت‌های مورد بررسی، پایین‌ترین و بالاترین میزان سطح بیان ژن HSP70 به ترتیب در غلظت‌های $0/25$ و $2/5\text{ppm}$ مشاهده شد. این در حالی بود که با افزایش غلظت نانوذرات اکسید مس (II) تا 25ppm بیان ژن مورد نظر در غالب موارد اندکی کاهش نشان داد ($P > 0.05$). Zapata و همکاران (۲۰۰۹) حداقل بیان ژن HSP70 در صدف *Crassostrea gigas* تحت شرایط مواجهه با مس را در غلظت $2/5$ میکروگرم بر لیتر مشاهده کردند در حالی که میزان mRNA در غلظت‌های بالاتر (5 و 10 میکروگرم بر لیتر) می‌توان به آسیب‌های وارد شده به بافت‌های مورد بررسی با گذشت زمان و خاموش شدن این ژن دانست. در واقع، عوامل استرس‌زا می‌توانند از طریق القای آسیب‌های سلولی باعث محدود شدن ساخت HSP70 با گذشت زمان شوند (Chen et al., 2012). به هر حال، تاثیرگذاری عوامل استرس‌زا روی تغییرات سطح بیان ژن HSP70 با گذشت زمان می‌تواند بسته به نوع عامل و آستانه تحمل گونه، متفاوت باشد (Singer et al., 2005). مقایسه بافت‌های مورد بررسی در مطالعه حاضر حاکی از آن بود که اگرچه بیان ژن HSP70 در هر دو بافت پا و آبشش روند افزایشی و کاهشی مشابهی را با گذشت زمان نشان داد اما تفاوت‌هایی از این نظر بین دو بافت وجود داشت. به نحوی که در روزهای چهارم و هشتم مواجهه در غالب موارد سطح بیان نسبی ژن در بافت آبشش بالاتر از بافت پا بود. اگرچه تفاوت مشاهده شده در بین بافت‌های مورد بررسی از نظر آماری معنی‌دار نبود ($P > 0.05$). اما تغییرات محسوس‌تر سطح بیان ژن در بافت آبشش در مقایسه با بافت پا را می‌توان به حساسیت بالاتر این بافت به دلیل قرارگیری مستقیم در معرض آب و آلاینده‌های موجود در آب و همچنین فراوانی هموسیت‌ها

پیامدهای زیستمحیطی ناشی از رهاسازی این مواد در طبیعت وجود ندارد. نتایج به دست آمده از مطالعه حاضر نشان داد که مواجهه با نانوذرات اکسید مس (II) باعث القای بیان ژن HSP70 در دوکفه‌ای *Anodonta cygnea* می‌شود. همچنین سطح بیان این ژن در زمان‌ها و غلظت‌های مختلف نانوذرات اکسید مس (II) نوساناتی نشان داد که احتمالاً ناشی از پتانسیل تطابق و فرآیندهای جبران کننده در شرایط مواجهه با استرس ناشی از آلودگی در جاندار است.

در سطح پایین‌تری قرار داشت. به هر حال، کاهش ظرفیت متابولیک موجود در اثر سمیت ایجاد شده می‌تواند نقش اساسی در این امر داشته باشد. بررسی‌ها نشان داده است که نانوذرات فلزی توانایی القای استرس اکسیداتیو را از طریق تولید مهارکننده‌های رادیکال اکسیژن داشته، موجودات نیز تحت شرایط استرس بالای اکسیداتیو توانایی دستیابی به سطوح مناسبی از عملکرد متابولیک را ندارند (Cheng et al., 2007).

با وجود کاربرد گسترده نانومواد در صنایع مختلف، متسفانه آگاهی چندانی درباره

منابع

گزارش نهایی پژوهه، مرکز تحقیقات شیلاتی استان گیلان، ۴۲ ص.

Bebianno M.J., Gonzalez-Rey M., Gomes T., Mattos J.J. Flores-Nunes F. and Bainy A.C.D. 2015. Is gene transcription in mussel gills altered after exposure to Ag nanoparticles? Environmental Science and Pollution Research, 22(22): 17425–17433.

Bierkens J.G.E.A. 2000. Applications and pitfalls of stress-proteins in biomonitoring. Toxicology, 153: 61–72.

Bondarenko O., Juganson K., Ivask A., Kasemets K., Mortimer M. and Kahru A. 2013. Toxicity of Ag, CuO and ZnO nanoparticles to selected environmentally relevant test organisms and mammalian cells in vitro: A critical review. Archives of Toxicology, 87(7): 1181–1200.

Boone A.M. and Vijayan M.M. 2002. Glucocorticoid mediated attenuation of the HSP70 response in trout hepatocytes involves the proteasome. American Journal of Physiology, 283: R680–R687.

Canesi L., Ciacci C., Fabbri R., Marcomini A., Pojana G. and Gallo G. 2012. Bivalve molluscs as a unique target group for nanoparticle toxicity. Marine Environmental Research, 76: 16–21.

پروانه ا. ۱۳۷۳. بررسی ویژگی‌های زیستی و پراکنش صدف آنودونت در حوضه تالاب انزلی.

Celi M., Vazzana M., Sanfratello M.A. and Parrinello N. 2012. Elevated cortisol modulates Hsp70 and Hsp90 gene expression and protein in sea bass head kidney and isolated leukocytes. General and Comparative Endocrinology, 175(3): 424–431.

Chen X., Zhu Y.H., Cheng X.Y., Zhang Z.W. and Xu S.W. 2012. The protection of selenium against cadmium-induced cytotoxicity via the heat shock protein pathway in chicken splenic lymphocytes. Molecules, 17: 14565–14572.

Cheng P., Liu X., Zhang G. and He J. 2007. Cloning and expression analysis of a HSP70 gene from Pacific abalone (*Haliotis discus hawaii*). Fish and Shellfish Immunology, 22: 77–87.

Chojnacki J.C., Rozinska B., Rudkiewics J. and Smola M. 2011. Biometrics of the swan mussel *Anodonta cygnea*. Polish Journal of Environmental Studies, 20(1): 225–230.

Conway J.R., Adeleye A.S., Gardea-Torresdey J. and Keller A.A. 2015. Aggregation, dissolution, and transformation of copper nanoparticles in natural waters. Environmental Science and

- Technology, 49(5): 2749–2756.
- Daughton C.G. 2004.** Non-regulated water contaminants: Emerging research. *Environmental Impact Asses Review*, 24: 711–732.
- David C., Metzger Pratt P. and Roberts S.B. 2012.** Characterizing the effects of heavy metal and *Vibrio* exposure on Hsp70 expression in *Crassostrea gigas* gill tissue source. *Journal of Shellfish Research*, 31(3): 627–630.
- Durnev A.D. 2008.** Toxicology of nanoparticles. *Bulletin of Experimental Biology and Medicine*, 145(1): 72–74.
- Dutton J.M. and Hofmann G.E. 2009.** Biogeographic variation in *Mytilus galloprovincialis* heat shock gene expression across the eastern Pacific range. *Journal of Experimental Marine Biology and Ecology*, 376: 37–42.
- Fabbri E., Valbonesi P. and Franzellitti S. 2008.** HSP expression in bivalves. *Invertebrate Survival Journal*, 5: 135–161.
- Franzellitti S. and Fabbri E. 2005.** Differential HSP70 gene expression in the Mediterranean mussel exposed to various stressors. *Biochemical and Biophysical Research Communications*, 336: 1157–1163.
- Gomes T., Araujo O., Pereira R., Almeida A.C., Cravo A. and Bebianno M.J. 2013.** Genotoxicity of copper oxide and silver nanoparticles in the mussel *Mytilus galloprovincialis*. *Marine Environmental Research*, 84: 51–59.
- Gomes T., Pinheiro J.P., Cancio I., Pereira C.G., Cardoso C. and Bebianno M.J. 2011.** Effects of copper nanoparticles exposure in the mussel *Mytilus galloprovincialis*. *Environmental Science and Technology*, 45(21): 9356–9362.
- Griffitt R.J., Hyndman K., Denslow N.D. and Barber D.S. 2009.** Comparison of molecular and histological changes in zebrafish gills exposed to metallic nanoparticles. *Toxicology Sciences*, 107: 404–415.
- Hamdoun A.M., Cheney D.P. and Cherr G.N. 2003.** Physiology and biomechanics-phenotypic plasticity of HSP70 and HSP70 gene expression in the Pacific oyster (*Crassostrea gigas*): Implications for thermal limits and induction of thermal tolerance. *Biological Bulletin*, 205(2): 160–174.
- Hanna S.K., Miller R.J. and Lenihan H.S. 2014.** Accumulation and toxicity of copper oxide engineered nanoparticles in a marine mussel. *Nanomaterials*, 4: 535–547.
- Iwama G.K., Thomas P.T., Forsyth R.B. and Vijayan M.M. 1998.** Heat shock protein expression in fish. *Reviews in Fish Biology and Fisheries*, 8: 35–56.
- Kasana R.C., Panwar N.R., Kaul R.K. and Kumar P. 2016.** Copper

- nanoparticles in agriculture: Biological synthesis and antimicrobial activity. Nanoscience in Food and Agriculture, 3(23): 129–143.
- Kohler H.R., Knodler C. and Zanger M. 1999.** Divergent kinetics of HSP70 induction in *Oniscus asellus* (Isopoda) in response to four environmentally relevant organic chemicals (B[a]P, PCB52,-HCH, PCP): Suitability and limits of a biomarker. Archives of Environmental Contamination and Toxicology, 36: 179–185.
- Lakhotia S.C. and Prasanth K.V. 2002.** Tissue- and development-specific induction and turnover of hsp70 transcripts from loci 87A and 87C after heat shock and during recovery in *Drosophila melanogaster*. Journal of Experimental Biology, 205: 345–358.
- Lewis S., Donkin M.E. and Depledge M.H. 2001.** Hsp70 expression in *Enteromorpha intestinalis* (Chlorophyta) exposed to environmental stressors. Aquatic Toxicology, 51 (3): 277–291.
- Livak K.J. and Schmittgen T.D. 2001.** Analysis of relative gene expression data using real-time quantitative PCR and the $2^{-\Delta\Delta CT}$ method. Methods, 25: 402–408.
- Lopes-Lima M. 2014.** *Anodonta anatina*. The IUCN Red List of Threatened Species 2014. e.T155667A21400363. Retrieved October 23, 2013, from <http://dx.doi.org/10.2305/IUCN.UK.2014-1.RLTS.T155667A21400363.en>.
- Luo L., Ke C., Guo X., Shi B. and Huang M. 2014.** Metal accumulation and differentially expressed proteins in gill of oyster (*Crassostrea hongkongensis*) exposed to long-term heavy metal-contaminated estuary. Fish and Shellfish Immunology, 38(2): 318–329.
- Moore M.N. 2006.** Do nanoparticles present ecotoxicological risks for the health of the aquatic environment? Environment International, 32: 967–976.
- Navarro A., Faria M., Barata C. and Pina B. 2011.** Transcriptional response of stress genes to metal exposure in zebra mussel larvae and adults. Environmental Pollution, 159: 100–107.
- Place S.P., O'Donnell M.J. and Hofmann G.E. 2008.** Gene expression in the intertidal mussel *Mytilus californianus*: Physiological response to environmental factors on a biogeographic scale. Marine Ecology Progress Series, 356: 1–14.
- Qadermarzi A., Hedayati A.A., Hossaini A., Moezi F. and Mosavi Sabet H. 2017.** Effects of exposure to copper oxide nanoparticles on histopathological and ultrastructural lesions of gills and

- M. and Mitchell N.J. 2015.** Increased expression of HSP70 and HSP90 mRNA as biomarkers of thermal stress in logger head turtle embryos (*Caretta caretta*). *Journal of Thermal Biology*, 74: 42–50.
- Rao J.V., Rani C.H., Kavitha P., Rao R.N. and Madhavendra S.S. 2003.** Toxicocicity of chlorpyrifos to the fish *Oreochromis mossambicus*. *Bulletin of Environmental Contamination and Toxicology*, 70: 985–992.
- Safari R., Shabani A., Ramezanpour S., Imanpour M.R. and Rezvani S. 2014.** Alternations of heat shock proteins (hsp70) gene expression in liver and gill of Persian sturgeon (*Acipenser persicus* Borodin, 1987) exposed to cadmium chloride. *Iranian Journal of Fisheries Sciences*, 13(4): 979–997.
- Sathiya R. and Vijayan M.M. 2001.** Autoregulation of glucocorticoid receptor by cortisol in rainbow trout hepatocytes. *Cell Physiology*, 284: C1508–C1515.
- Singer C.H., Zimmermann S. and Sures B. 2005.** Induction of heat shock proteins (hsp70) in the zebra mussel (*Dreissena polymorpha*) following exposure to palatinium group metals (palatinium, palladium and rhodium): Comparision with lead and cadmium exposure. Induction of heat shock proteins (hsp70) in the zebra mussel. *Aquatic Toxicology*, 75: 65–75.
- Tedeschi J.N., Kennington W.J., Berry O., Whithing S., Meekan**
- Theodorakis C.W., D'Surney S.J., Bickman J.W., Lyne T.B., Bradley B.P., Hawkins W.E., Farkas W.L., Mc-Carthy J.F. and Shugart L.R. 1992.** Sequential expression of biomarkers in bluegill sunfish exposed to contaminated sediment. *Ecotoxicology*, 1: 45–73.
- Umer A., Naveed S. and Ramzan N. 2012.** Selection of a suitable method for the synthesis of copper nanoparticles. *NANO: Brief Reports and Reviews*, 7(5): 1–18.
- Venkatesan C., Sahul Hameed A.S., Sundarraj N., Rajkumar T. and Balasubramanian G. 2014.** Analysis of immune genes and heat shock protein genes under exposure to white spot syndrome virus (MSSV) and herbal immune stimulant in *Lopenaeus vannamei*. *Journal of Bacteriology and Parasitology*, 5(205): 216–227.
- Whitesell L. and Cook P. 1996.** Stable and specific binding of heat shock protein 90 by geldanamycin disrupts glucocorticoid receptor function in intact cells. *Molecular Endocrinology*, 10: 705–712.
- Zapata M., Tangy A., David E.,**

Moraga D. and Riquelme C. 2009. Transcriptomic response of *Argopecten purpuratus* post-larvae to copper exposure under experimental conditions. Gene, 442: 37–46.



Induction of HSP70 gene expression in freshwater bivalve, *Anodonta cygnea*, caused by exposing to CuO-NPs

Hadiseh Kashiri^{1*}, Ali Shabani², Kaveh Khosraviani³, Amir Ghadermarzi⁴

Received: February 2017

Accepted: May 2017

Abstract

Anodonta cygnea is considered as a suitable species in evaluating the pollution of aquatic ecosystems because of the low resistance to changes in environmental conditions. Nowadays, due to the wide application of nanomaterials in different industries, the negative effect of these materials on aquatic life is of great concern. In the present study, the effect of copper oxide nanoparticles (II) (CuO-NPs) on HSP70 gene expression was evaluated in *A. cygnea*. For this purpose, the mussels were exposed to the concentrations of 0 (control), 0.25, 2.5 and 25 ppm of CuO-NPs during 12 days. To analyze the changes in HSP70 gene expression, the sequence of this gene was determined in this species. In this regard, a fragment of 540 nucleotide coding HSP70 was cloned. The nucleotide sequence of HSP70 in *A. cygnea* contained 19.8, 30.7, 26.7 and 22.9 percent of A, C, G and T, respectively. The results indicated that exposing to CuO-NPs induced HSP70 gene expression in both tissues of foot and gill. Hereof, there was no significant difference ($P>0.05$) in gene expression level of HSP70 among foot and gill tissues. Also, the gene expression level in the studied tissues increased with increasing exposure time up to 8 days while it showed decrease over the time up to 12th day ($P\leq0.05$). In conclusion, the HSP70 gene in *A. cygnea* showed higher level of GC nucleotides in comparison to the other studied species and the expression level of this gene increases under exposing to CuO-NPs so that this increase is dependent on the concentration and time.

Key words: Anodonta cygnea, Pollution, Heat Shock Protein, Copper Oxide Nanoparticles.

1- Assistant Professor in Department of Fisheries, Faculty of Fisheries and Environment, Gorgan University of Agricultural Science and Natural Resources, Gorgan, Iran.

2- Associate Professor of Fisheries, Faculty of Fisheries and Environment, Gorgan University of Agricultural Science and Natural Resources, Gorgan, Iran.

3- Research Assistant of Central Laboratory of Genetic and Biotechnology, Faculty of Agricultural Sciences and Natural Resources, Tehran University, Tehran, Iran.

4- Ph.D. Student in Fisheries, Faculty of Fisheries and Environment, Gorgan University of Agricultural Science and Natural Resources, Gorgan, Iran.

*Corresponding Author: hadiskashiri@gmail.com